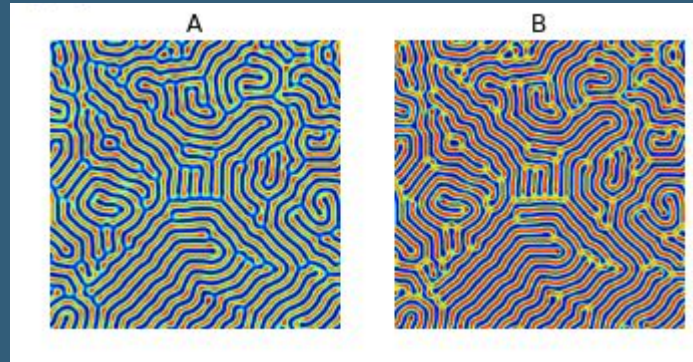
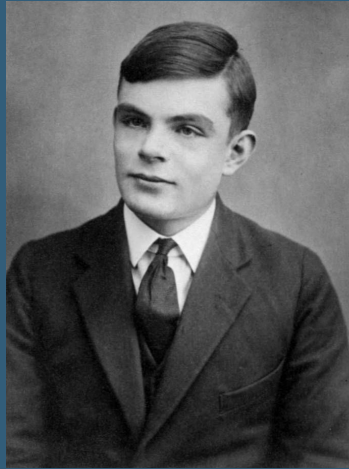


Morphogenèse et reconnaissance d'images

Histoire et explication de la morphogenèse

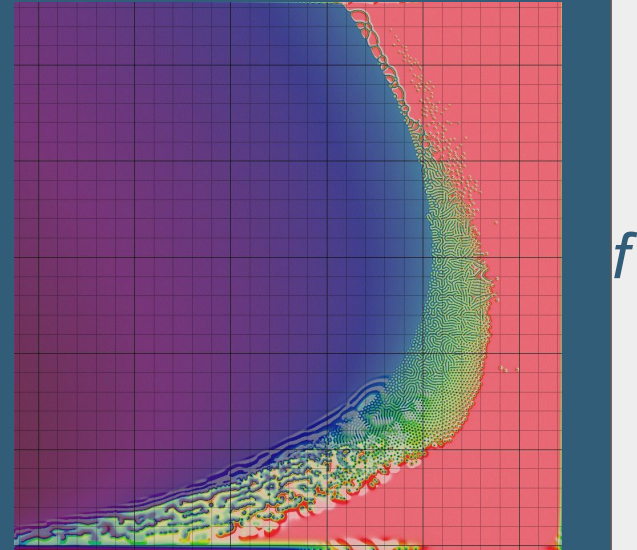


Problématique et objectifs

Afin de reconnaître quel espèce de poisson est dans une image on étudiera la morphogenèse et les moments géométriques puis on concevra un algorithme Python permettant de reconnaître ceux-ci.

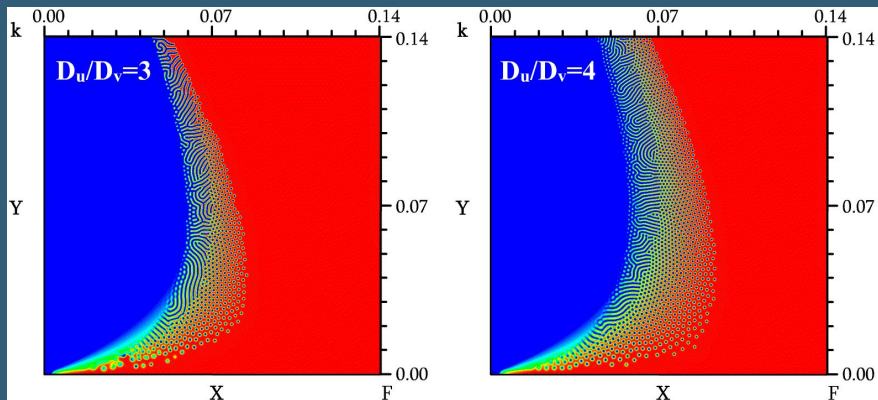
Équation de Gray-Scott et discrétisation

$$\begin{aligned}\frac{\partial u}{\partial t} &= D_u \nabla^2 u - uv^2 + F(1 - u), \\ \frac{\partial v}{\partial t} &= D_v \nabla^2 v + uv^2 - (F + k)v.\end{aligned}$$



k

Discrétisation Informatique



$$\text{2D filter: } \mathbf{D}_{xy}^2 = \begin{bmatrix} 0 & 1 & 0 \\ 1 & -4 & 1 \\ 0 & 1 & 0 \end{bmatrix}$$

$$\Delta x = \Delta y = h$$

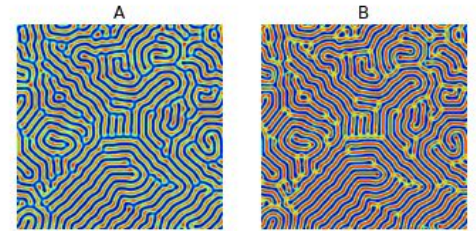
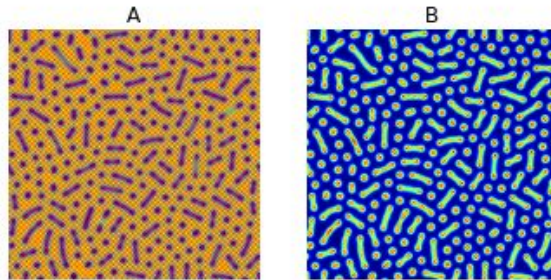
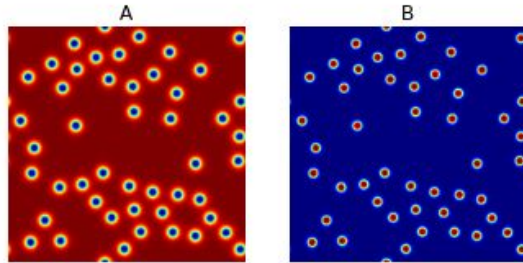
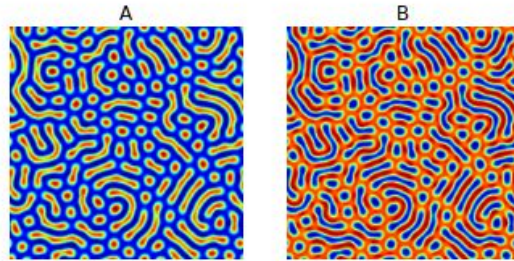
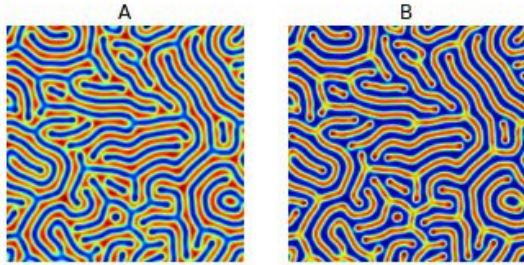
$$\Delta f(x, y) \approx \frac{f(x - h, y) + f(x + h, y) + f(x, y - h) + f(x, y + h) - 4f(x, y)}{h^2}$$

Modélisation Informatique

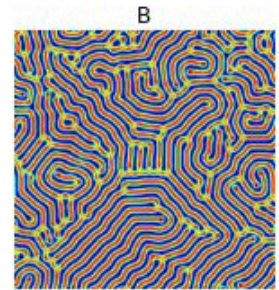
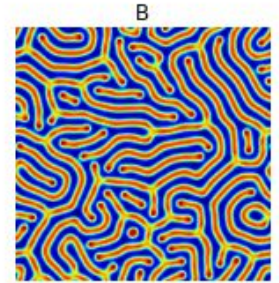
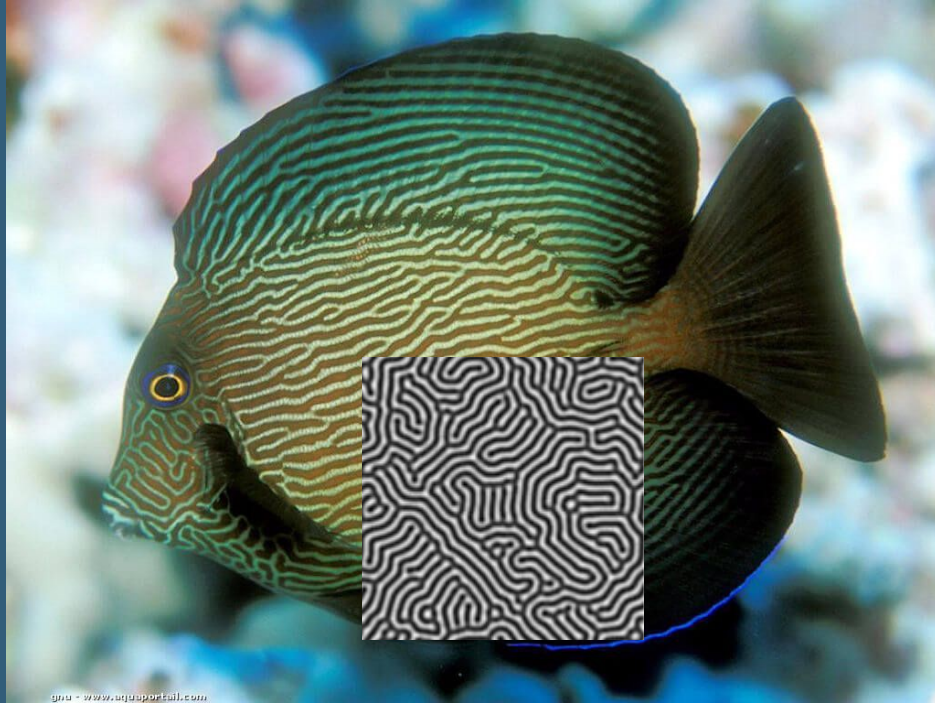
```
1 import numpy as np
2 import matplotlib.pyplot as plt
3
4 #exemple de matrice A, tel que [[0, 1, 0]
5 #                               [[1, -4, 1]
6 #                               [0, 1, 0]] Laplacian discret
7 A = np.ones((3,3))
8
9 def discrete_laplacian(M):
10     L = -4*M
11     L += np.roll(M, (0,-1), (0,1)) # right neighbor
12     L += np.roll(M, (0,1), (0,1)) # left neighbor
13     L += np.roll(M, (-1,0), (0,1)) # top neighbor
14     L += np.roll(M, (1,0), (0,1)) # bottom neighbor
15     return L
16
17 def discrete_laplacian(Z):
18     return sp.filters.laplace(Z)
19
20 def gray_scott_update(A, B, DA, DB, f, k, delta_t):
21     #mise a jour des concentration, application de la formule Gray-Scott avec coeff diffusion DA, et DB.
22     #Le feed rate et le kill rate.
23     # LA et LB Laplacien discret
24     LA = discrete_laplacian(A)
25     LB = discrete_laplacian(B)
26
27     # Gray-Scott formula
28     diff_A = (DA*LA - A*B**2 + f*(1-A)) * delta_t
29     diff_B = (DB*LB + A*B**2 - (k+f)*B) * delta_t
30
31     A += diff_A
32     B += diff_B
33
34     return A, B
35
36 def get_initial_configuration(N, random_influence=0.2):
37     #On crée les matrices avec 1 et 0, puis on ajoute du bruit pour améliorer la diffusion
38     #puis on crée le gros carré au centre
39
40     # Chaque pixel est égal a une concentration
41     # a contient le u, puis le B contient le v de manière que
42     # u + 2v -> 3v
43     A = (1-random_influence) * np.ones((N,N)) + random_influence * np.random.random((N,N))
44     B = random_influence * np.random.random((N,N))
45
46     N2 = N//2
47     r = int(N/10.0)
48     A[N2-r:N2+r, N2-r:N2+r] = 0.50
49     B[N2-r:N2+r, N2-r:N2+r] = 0.25
50
51     return A, B
52
```

```
53 def draw(A,B):
54     # La partie plot du truc
55     fig, ax = plt.subplots(1,2,figsize=(5.65,4))
56     ax[0].imshow(A, cmap='jet')
57     ax[1].imshow(B, cmap='jet')
58     ax[0].set_title('A')
59     ax[1].set_title('B')
60     ax[0].axis('off')
61     ax[1].axis('off')
62
63
64 # update in time
65 delta_t = 1.0
66
67 # Diffusion coefficients
68 DA = 0.19
69 DB = 0.05
70
71 ## taux aleatoires de feed/kill
72 f = rd.uniform(0.1,0.01)
73 k = rd.uniform(0.045,0.07)
74
75 f=0.06
76 k=0.062
77
78 # taille
79 N = 200
80
81 # nombre de fois
82 N_simulation_steps = 10000
83
84
85 A, B = get_initial_configuration(200)
86
87 for t in range(N_simulation_steps):
88     A, B = gray_scott_update(A, B, DA, DB, f, k, delta_t)
89     if t%500==0:
90
91 draw(A,B)
```

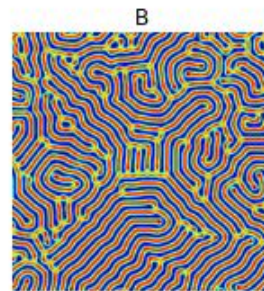
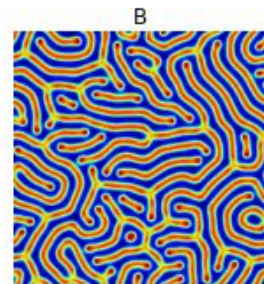
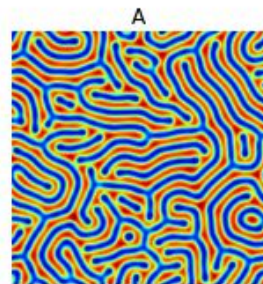
Résultats



Modélisation Informatique et réalité



Modélisation Informatique et réalité



Moments de Hu

$$M_{ij} = \sum_x \sum_y x^i y^j I(x, y)$$

$$\bar{x} = \frac{M_{10}}{M_{00}} \text{ and } \bar{y} = \frac{M_{01}}{M_{00}}$$

$$\mu_{00} = M_{00},$$

$$\mu_{01} = 0,$$

$$\mu_{10} = 0,$$

$$\mu_{11} = M_{11} - \bar{x}M_{01} = M_{11} - \bar{y}M_{10},$$

$$\mu_{20} = M_{20} - \bar{x}M_{10},$$

$$\mu_{02} = M_{02} - \bar{y}M_{01},$$

$$\mu_{21} = M_{21} - 2\bar{x}M_{11} - \bar{y}M_{20} + 2\bar{x}^2M_{01},$$

$$\mu_{12} = M_{12} - 2\bar{y}M_{11} - \bar{x}M_{02} + 2\bar{y}^2M_{10},$$

$$\mu_{30} = M_{30} - 3\bar{x}M_{20} + 2\bar{x}^2M_{10},$$

$$\mu_{03} = M_{03} - 3\bar{y}M_{02} + 2\bar{y}^2M_{01}.$$

Moments de Hu

```
def M(i,j):
    s=0
    x=len(t[0])
    y=len(t)
    for k in range (x-1):
        for l in range (y-1):
            s+=(k**i)*(l**j)*t[l][k]
    return s

def n(i,j):
    return ((u(i,j))/((u(0,0))**(1+(i+j)/2)))

def x0():
    return (m[1][0])/(m[0][0])

def y0() :
    return (m[0][1])/(m[0][0])

def u (i,j):
    s=0
    x=len(t[0])
    y=len(t)
    for k in range (x-1):
        for l in range (y-1):
            s+=((k-x0())**i)*((1-y0())**j)*t[l][k]
    return s
```

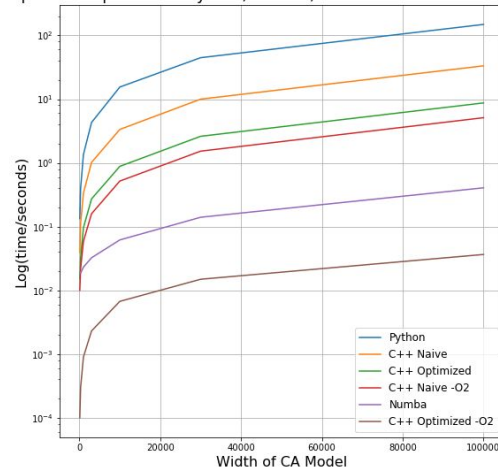
```
def tablM():
    m=[[0,0,0,0],[0,0,0,0],[0,0,0,0],[0,0,0,0]]
    m[0][0]=M(0,0)
    m[0][1]=M(0,1)
    m[1][1]=M(1,1)
    m[0][2]=M(0,2)
    m[2][1]=M(2,1)
    m[1][2]=M(1,2)
    m[0][3]=M(0,3)
    m[1][0]=M(1,0)
    m[2][0]=M(2,0)
    m[3][0]=M(3,0)
    return m

#fonction calculant Les moment de Hu
def Hu ():
    I1= (n(2,0)) + (n(0,2))
    I2= ((n(2,0))-n(0,2))**2 + 4*((n(1,1))**2)
    I3= (n(3,0)-3*(n(1,2)))**2 +(3*(n(2,1))-n(0,3))
    I4= (n(3,0)+n(1,2))**2+(n(2,1)+ n(0,3))**2
    I5=(n(3,0)-3*n(1,2))*(n(3,0)+n(1,2))*((n(3,0)+n(1,2))**2-3*(n(2,1)+n(0,3))**2)+(
    I6= (n(2,0)-n(0,2))*((n(3,0)+n(1,2))**2-(n(2,1)+n(0,3))**2)+4*n(1,1)/(n(3,0)+n(1
    I7= (3*n(2,1)-n(0,3))*(n(3,0)+n(1,2))*((n(3,0)+n(1,2))**2-3*(n(2,1)+n(0,3))**2)-
    I8= n(1,1)*((n(3,0)+n(1,2))**2 + (n(0,3)+n(2,1))**2)-(n(2,0)+n(0,2))*(n(3,0)+n(1
    hu=[str(I1),str(I2),str(I3),str(I4),str(I5),str(I6),str(I7),str(I8)]
    return hu
```

OpenCV et Numba/PyCuda

```
def extractpictures (pathimages,pathrec):
    listpictures=getlist(pathimages)
    j=0
    for e in listpictures :
        print(e)
        image = cv2.imread(e)
        original = image.copy()
        gray = cv2.cvtColor(image, cv2.COLOR_BGR2GRAY)
        blurred = cv2.GaussianBlur(gray, (3, 3), 0)
        canny = cv2.Canny(blurred, 120, 255, 1)
        kernel = np.ones((5,5),np.uint8)
        dilate = cv2.dilate(canny, kernel, iterations=1)
        # Find contours
        cnts = cv2.findContours(dilate, cv2.RETR_EXTERNAL, cv2.CHAIN_APPROX_SIMPLE)
        cnts = cnts[0] if len(cnts) == 2 else cnts[1]
        # Iterate thorough contours and filter for ROI
        image_number = 0
        for c in cnts:
            x,y,w,h = cv2.boundingRect(c)
            if h>20 and w>20 :
                cv2.rectangle(image, (x, y), (x + w, y + h), (36,255,12), 2)
                ROI = canny[y:y+h, x:x+w]
                #changer le canny si dessus contre original pour enregistrer l'image en couleur
                cv2.imwrite(pathrec+'ROI_{}.png'.format(j*1000+image_number), ROI)
                image_number += 1
        j+=1
```

Speed Comparison of Python, Numba, and C++ for Wolfram Models



Algorithme génétique

Bibliographie

- Turing, A.M: Philosophical Transactions of the Royal Society of London B. 237, No. 641 14/08/1952 p. 37-72 -
<https://blogs.scientificamerican.com/cocktail-party-physics/when-math-meets-nature-turingpatterns-and-form-constants/?redirect=1> consulté le 12 Mars 2019
<https://www.pourlascience.fr/sd/mathematiques/des-equations-pour-de-bons-motifs-9026.php> 12 Mars -
<https://phys.org/news/2015-12-mathematical-animal-stripes.html> consulté le 19 Mars 2019 - <https://www.lptl.jussieu.fr/user/lesne/Turing-preprint.pdf>
consulté le 26 Mars 2019 - https://media4.obspm.fr/public/M2R/appliquettes/Turing/AutomateTuring_website.html 23 Avril -
<http://www.staff.science.uu.nl/~frank011/Classes/complexity/Literature/Pearson.pdf> 30 Avril 2019 -
<https://mrob.com/pub/comp/xmorphia/pearson-classes.html> consulté le 7 Mai 2019 - https://en.wikipedia.org/wiki/Heat_equation consulté le 7 Mai 2019 - <http://www.degeneratestate.org/posts/2017/May/05/turing-patterns/> consulté le 7 Mai 2019 -
<https://mrob.com/pub/comp/xmorphia/ogl/index.html> consulté le 21 Mai
<https://youtu.be/8YnWWHwu4IA> et <https://youtu.be/ryEQYgfd5AU> consultés le 28 Mai 2019